

## НЕОМИЧЕСКАЯ ПРОВОДИМОСТЬ Ge : Sb ВБЛИЗИ ПЕРЕХОДА МЕТАЛЛ—ИЗОЛЯТОР

Г. А. Матвеев, А. Т. Лончаков

Институт физики металлов Уральского отделения Российской академии наук,  
620219, Екатеринбург, Россия  
(Получена 4.01.1992. Принята к печати 31.07.1992)

В электрических полях до 120 В/см в интервале температур (4.2  $\div$  60) К измерена проводимость  $\sigma$  и коэффициент Холла  $R$  на кристаллах Ge : Sb с концентрациями электронов  $n = 1 \cdot 10^{17}$  см $^{-3}$  и  $2 \cdot 10^{17}$  см $^{-3}$ , близкими к критической  $n_c$ , соответствующей переходу металл—изолятор (для Ge : Sb  $n_c \approx 1.5 \cdot 10^{17}$  см $^{-3}$ ). Показано, что неомическая проводимость, наблюдаемая при температурах ниже температуры максимума коэффициента Холла  $|R(T)|_{\max}$ , как при  $n < n_c$ , так и при  $n > n_c$ , может быть объяснена ионизацией электронов из примесной зоны в зону проводимости. Из анализа температурной и полевой зависимости  $R$  и  $\sigma$  определена температура разогрева электронного газа и время релаксации энергии.

В настоящее время достигнут значительный прогресс в понимании перехода металл—изолятор (МИ) в легированных полупроводниках (см., например, [1]). Однако до сих пор остается дискуссионным вопрос о характере состояний вблизи критической концентрации  $n_c$ , соответствующей переходу МИ. Эта проблема тесно связана с вопросом о том, где происходит переход — в примесной зоне или в зоне проводимости. В литературе на эту тему существуют самые противоречивые суждения: оценки концентрации электронов, при которой примесная зона смешивается с зоной проводимости и по разным источникам варьируется в широких пределах от 0.1  $n_c$  до 10  $n_c$  (библиография приведена в работе [2]). Различные эксперименты также дают неоднозначный ответ на этот вопрос (например, [2, 3]).

Исследуя явления переноса в  $n$ -Ge, мы пришли к выводу, что переход из примесной зоны в зону проводимости происходит, по-видимому, вблизи перехода МИ. Однако влияние примесной зоны продолжаетказываться вплоть до концентраций  $n \approx 10 n_c$ . Это влияние проявляется в особенностях кинетических коэффициентов при воздействии на кристалл одноосного сжатия [4], сильных магнитных полей [5], низких температур [6], которые не удается удовлетворительно объяснить квантовыми поправками к проводимости.

Можно надеяться, что дополнительную информацию о характере электронных состояний вблизи  $n_c$  дадут исследования явлений переноса в сильных электрических полях. Под сильными полями мы подразумеваем такие поля, в которых ток, протекающий через кристалл, не подчиняется закону Ома. В данной работе исследовалась полевая зависимость проводимости  $\sigma(E)$  и коэффициента Холла  $R(E)$  на кристаллах Ge : Sb. Представляло интерес сравнить изменение проводимости в сильных электрических полях в Ge : Sb с аналогичными измерениями на металлических пленках вблизи перехода МИ [7].

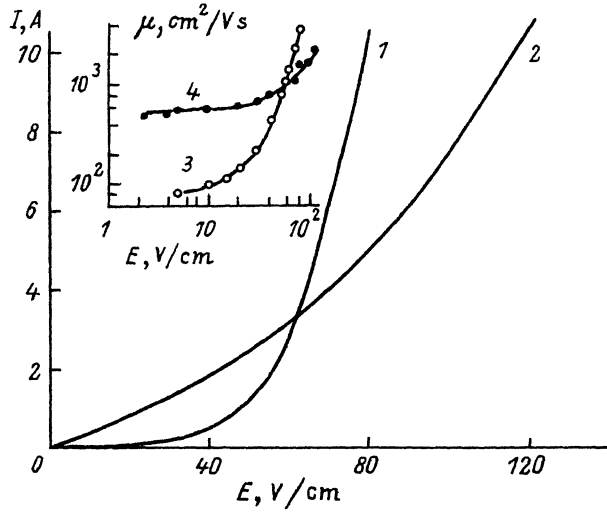


Рис. 1. Вольт-амперные характеристики образцов 1 (1) и 2 (2) Ge : Sb при  $T = 4.2$  К. На вставке приведена зависимость холловской подвижности электронов от электрического поля у образцов 1 (3) и 2 (4) при  $T = 4.2$  К.

### Экспериментальные результаты

Измерения сопротивления  $\rho (E)$  и коэффициент Холла  $R (E)$  проводились на кристаллах Ge : Sb с концентрациями электронов  $n = 1 \cdot 10^{17} \text{ см}^{-3}$  (образец 1) и  $2 \cdot 10^{17} \text{ см}^{-3}$  (образец 2) при температурах  $(4.2 \div 60)$  К в электрических полях до 120 В/см. Характеристики образцов приведены в наших предыдущих работах [4, 5]. Согласно этим данным, у образца 1, имеющего концентрацию электронов ниже критической  $n_c$  ( $n_c \approx 1.5 \cdot 10^{17} \text{ см}^{-3}$  для Ge : Sb), при температурах  $T < 2.5$  К сопротивление с температурой изменяется по закону  $\rho (T) \sim \exp (T_0/T)^{1/4}$ . В интервале  $2.5 \text{ K} < T < 12 \text{ K}$   $\rho (T) \sim \exp (\Delta\epsilon/kT)$ . Постоянная энергия активации  $\Delta\epsilon = 0.4$  мэВ определяет величину энергетического зазора от края подвижности  $\epsilon_c$  до уровня Ферми  $\epsilon_F$ . У образца 2 с  $n > n_c$  при низких температурах сопротивление увеличивается с ростом температуры и достигает максимума при  $T = 12$  К. Коэффициент Холла  $|R (T)|$  для образца 1 имеет максимум при  $T_{\max} = 24$  К, а для образца 2 — при  $T_{\max} = 40$  К. Измерения  $\rho (E)$  и  $R (E)$  проводились в импульсных электрических полях с длительностью импульса  $T_i = 5$  мкс. Образцы вырезались вдоль кристаллографической оси  $\langle 100 \rangle$ .

На рис. 1 приведены вольт-амперные характеристики (ВАХ) образцов 1 (кривая 1) и 2 (кривая 2) при  $T = 4.2$  К. Из анализа кривых следует, что у образца 1 в поле  $E > 5$  В/см, а у образца 2 при  $E > 10$  В/см ВАХ имеет сверхлинейный характер, что характерно для примесного пробоя. На рис. 2 (образец 1) и 3 (образец 2) приведены семейства кривых, отражающих зависимость  $\rho (E)$  и  $R (E)$  от поля при разных температурах. Из этих рисунков видно, что в интервале температур  $T < T_{\max} |R (T)|$ , приблизительно совпадающим с областью сильного рассеяния  $\hbar/\tau > \tilde{\epsilon}$  [4] (где  $\tau$  — время релаксации импульса,  $\tilde{\epsilon}$  — характерное значение энергии, равное  $kT$  для невырожденной статистики и  $\epsilon_F$  для вырожденного электронного газа), сопротивление и коэффициент Холла зависят от электрического поля. При  $T < 12$  К у образцов 1 и 2 на кривых  $|R (E)|$  наблюдается максимум. По аналогии с температурной зависимостью коэффициента Холла [4] максимум  $|R (E)|$  можно объяснить участием в проводимости двух групп носителей, обладающих различной подвиж-

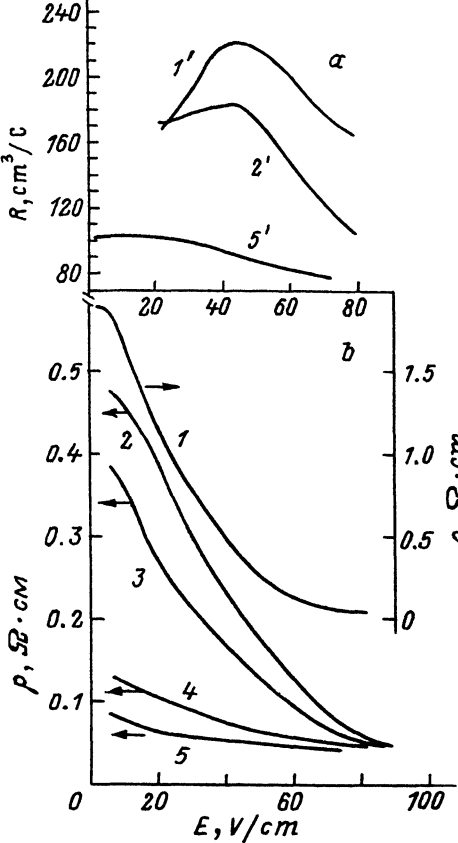


Рис. 2. Зависимость коэффициента Холла (а) и удельного сопротивления (б) от электрического поля для образца 1. Т, К: 1, 1' – 4.2; 2, 2' – 11; 3 – 20; 4 – 30; 5, 5' – 40.

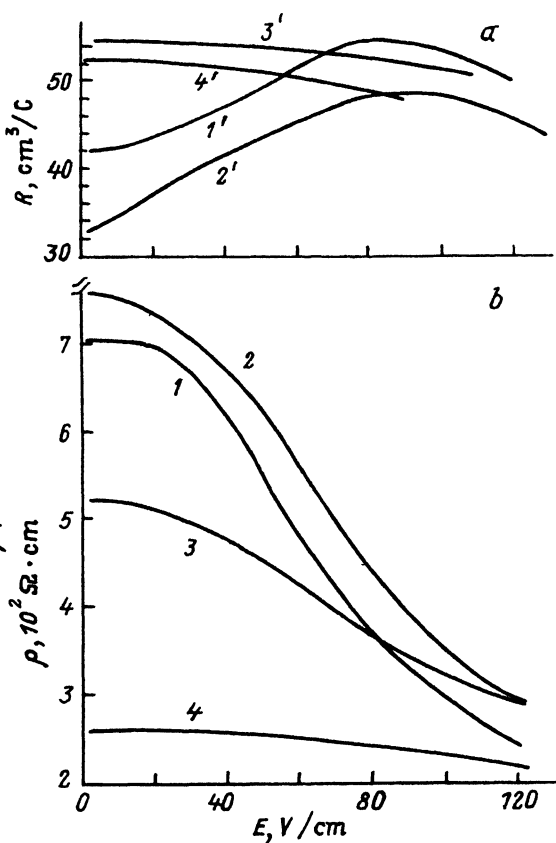


Рис. 3. Зависимость коэффициента Холла (а) и удельного сопротивления (б) от электрического поля для образца 2. Т, К: 1, 1' – 4.2; 2, 2' – 12; 3, 3' – 30; 4, 4' – 60.

ностью. Этот вывод подтверждается одинаковым изменением подвижности электронов с температурой  $\mu(T)$  [4] и электрическим полем  $\mu(E)$  (см. вставку на рис. 1). Близкие значения  $\mu(T)$  и  $\mu(E)$  в максимумах коэффициента Холла  $|R(T_{\max})|$  и  $|R(E_{\max})|$  позволяют сделать вывод, что для этих образцов основное изменение проводимости в электрическом поле связано с увеличением концентрации более подвижных электронов  $n_2$  при увеличении  $E$ . (Следует отметить, что действие электрического поля на проводимость все же не идентично действию температуры. Так, например, у образца 2 на кривой  $\sigma(T)$  при  $T = 12$  К имеется

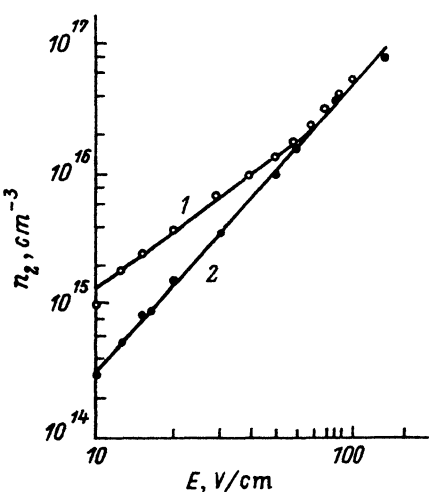


Рис. 4. Зависимость концентрации подвижных электронов  $n_2(E)$  для образца 2. Т, К: 1 – 12, 2 – 4.2.

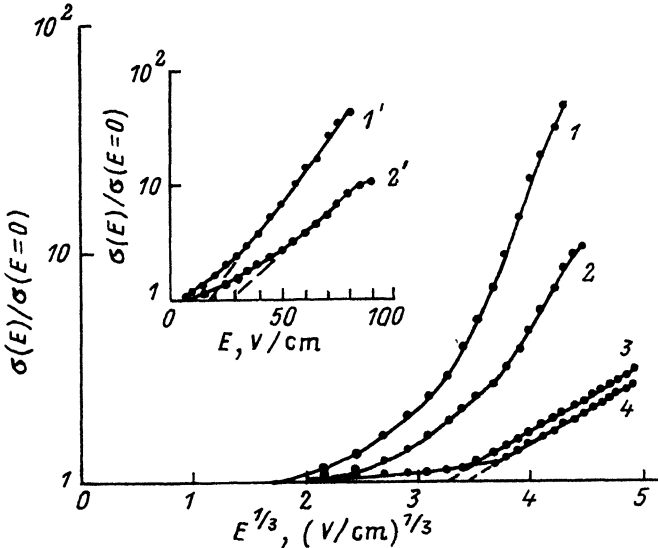


Рис. 5.  $\sigma(E)/\sigma(0)$  в зависимости от  $E^{1/3}$  для образцов 1 (1, 2) и 2 (3, 4). Т, К: 1, 3 — 4.2; 2 — 11, 4 — 12. На вставке — зависимость  $\sigma(E)/\sigma(0)$  от  $E$  для образца 1. Т, К: 1' — 4.2; 2' — 11.

минимум [4], а в электрическом поле проводимость только растет (рис. 3, кривые 1—4).

На рис. 4 для образца 2 приведены зависимости  $n_2(E)$  при  $T = 12$  К (кривая 1) и 4.2 (кривая 2), рассчитанных по формулам для проводимости с двумя типами носителей заряда [4]. Расчет проводился при значениях  $b = \mu_2/\mu_1 = 3.6$  (12 К) и  $b = 2.8$  (4.2 К), полученных из анализа  $R(E)$  (рис. 2 и 3) (здесь  $\mu_1$  и  $\mu_2$  — подвижности электронов в примесной зоне и зоне проводимости соответственно). Как следует из рис. 4, на значительном интервале измеренных полей  $n_2(E) \sim E^{1.5}$  при  $T = 12$  К (кривая 1) и  $n_2(E) \sim E^2$  при  $T = 4.2$  К (кривая 2).

Приравнивая энергию электронов в максимумах  $|R(E)|$  и  $|R(T)|$ , можно оценить разогрев электронного газа  $\Delta T = (T_e - T)$  относительно решетки, а из уравнения баланса между подводом и отводом тепла от электронной системы [8]

$$\sigma E^2 = \int_T^{T_e} \frac{Q(T) dT}{\tau_e} = \gamma \frac{(T_e^2 - T^2)}{2\tau_e}$$

можно оценить время релаксации энергии  $\tau_e$ . Здесь  $Q(T) = \gamma T$  — электронная теплоемкость единицы объема,  $T_e$  — температуры электронов и фононов соответственно. Для образца 1 по оценкам  $\Delta T = 20$  К ( $E = 45$  В/см) при  $T = 4.2$  К и  $\Delta T = 13$  К ( $E = 42$  В/см) при  $T = 11$  К. Для образца 2  $\Delta T = 36$  К ( $E = 85$  В/см) и  $\Delta T = 28$  К ( $E = 90$  В/см) при температурах 4.2 К и 12 К соответственно. Для этого образца  $\tau_e = 0.8 \cdot 10^{-9}$  с при  $T = 4.2$  К и  $\tau_e = 0.7 \cdot 10^{-9}$  с при  $T = 12$  К. Приведенные значения  $\tau_e$  находятся в пределах оценок  $\tau_e \approx (10^{-7} - 10^{-11})$  с для металлов при низких температурах  $T = (1 \div 4.2)$  К [7]. При значительном разогреве электронный газ становится невырожденным и формула уже неприменима. Поэтому величину  $\tau_e$  для образца 2 можно рассматривать как оценку по порядку величины.

Мы попытались найти закон, описывающий изменение проводимости в сильных электрических полях. Оказывается, что для образца 1 можно выделить

интервал полей и температур, в котором проводимость экспоненциально зависит от электрического поля  $\sigma(E) \sim \exp(E)$  (рис. 5, кривые 1' и 2' на вставке).

Для образца 2, имеющего металлическую проводимость при низких температурах, в том же интервале температур  $4.2 \text{ K} < T < 12 \text{ K}$ , полевая зависимость проводимости лучше описывается формулой  $\sigma(E) \sim \exp(E^{1/3})$  (рис. 5, кривые 3, 4). Если же для этого образца изменение проводимости в поле попытаться описать степенным законом, то максимальный наклон кривой  $\sigma(E)$  в двойном логарифмическом масштабе соответствует показателю степени  $n \approx 1$ . Для металлических пленок вблизи перехода МИ  $n = 1/3$ , т. е.  $\Delta\sigma \sim E^{1/3}$  [7]. Из приведенных фактов следует, что в Ge:Sb в области металлической проводимости вблизи  $n_c$  изменение  $\sigma$  в сильных электрических полях значительно сильнее, чем в металлах.

## Обсуждение экспериментальных результатов

Поведение ВАХ (рис. 1) и коэффициентов Холла  $R(E)$  (рис. 3) у образца 2 свидетельствует о том, что и при  $n > n_c$  примесная зона играет существенную роль в явлениях переноса. На это же указывает и характер зависимости  $\sigma(E)$  при низких температурах ( $T \leq 12 \text{ K}$ ). Как следует из работ [11, 12], в неупорядоченных системах с металлической проводимостью учет квантовых поправок, связанных с разогревом электронного газа в электрическом поле, приводит к изменению проводимости  $\Delta\sigma \sim E^{1/3}$  в пределе  $\Delta T \gg T$  и  $\Delta\sigma \sim E^{1/2}$  при  $\Delta T \ll \ll T$ . В эксперименте подобные зависимости  $\Delta\sigma(E)$  наблюдались при  $T < 35 \text{ K}$  в сильно легированном  $n\text{-Hg}_{0.8}\text{Cd}_{0.2}\text{Te}$  вдали от перехода МИ [12]. Значительно более сильное изменение  $\sigma(E) \sim \exp(E^{1/3})$  в Ge:Sb (рис. 5, кривые 3, 4) мы объясняем тем, что при  $n \approx n_c$  между примесной зоной и зоной проводимости, по-видимому, имеется псевдощель. Ранее к такому выводу мы пришли из анализа температурной зависимости  $\sigma(T)$  и коэффициента Холла  $R(T)$  на кристаллах  $n\text{-Ge}$ , подвергнутых одноосному сжатию вдоль оси  $\langle 111 \rangle$  [4]. С увеличением концентрации примесей перекрытие зон возрастает [9] и при  $n > 2n_c$  на магнитосопротивлении наблюдаются осцилляции Шубникова—де-Гааза. Оцененная по эффекту Шубникова—де-Гааза величина уровня Ферми  $\varepsilon_F$  не сильно отличается от значений  $\varepsilon_F$  для зонных электронов [10]. С другой стороны, из экспериментальных данных [4, 5] следует, что при  $T < T_{\max}|R(T)|$  проводимость  $n\text{-Ge}$  в области концентраций  $n_c < n < 10n_c$ , как и при  $n < n_c$ , чувствительна к степени перекрытия примесных волновых функций. Этот факт можно объяснить тем, что вплоть до  $n \approx 10n_c$  примесная зона не полностью растворялась в зоне проводимости, и электроны еще достаточно сильно связаны с примесными атомами [4–6]. (Следует отметить, что зависимость проводимости от перекрытия волновых функций электронов наблюдается в области сильного рассеяния  $\hbar/\tau > \tilde{\epsilon}$  [4]).

Особенности, связанные с примесными состояниями при  $n > n_c$ , проявились и в оптических свойствах  $n\text{-GaAs}$ : 1. Согласно [2], в эпитаксиальных пленках  $n\text{-GaAs}$  переходы между примесными уровнями  $1s$ — $2p$  наблюдались не только на диэлектрической стороне перехода МИ, но и в области металлической проводимости, до  $n \approx 5n_c$ . Исходя из этого, авторы делают вывод, что переход МИ происходит в примесной зоне, отделенной энергетическим барьером от зоны проводимости. 2. В образце  $n\text{-GaAs}$  с  $n = 3.5 \cdot 10^{16} \text{ см}^{-3}$  ( $n \approx 2n_c$ ) переходы между примесными уровнями не обнаруживались при  $T > 40 \text{ K}$ , что соответствует условию  $T < T_{\max}|R(T)|$  [13]. Выше 40 К в ИК спектре присутствует только друлевский член, описывающий поглощение свободными носителями тока. Из наших экспериментов на кристаллах  $n\text{-Ge}$  также следует, что при  $T > T_{\max}|R(T)|$  кинетические явления можно описать в приближении свободных электронов [4–6].

Таким образом, исследования зависимости  $\sigma(E)$  и  $R(E)$  в Ge : Sb подтверждают выводы [4–6] о том, что в легированных полупроводниках примесная зона оказывает существенное влияние на характер состояний вблизи перехода МИ. В металлических пленках, судя по результатам эксперимента [7], такого влияния не обнаруживается. Зависимость  $\Delta\sigma \sim E^{1/3}$ , наблюдавшуюся в сплавах  $Ge_xAu_{1-x}$  и  $C_xCu_{1-x}$  в полях до 500 В/см, авторы [7] объясняют теорией Мак Миллана [14], в которой учитывается сильное электрон-электронное взаимодействие, а локализация электронов предполагается слабой (учитываются только интерференционные эффекты [15]).

Авторы выражают благодарность И. М. Цидильковскому за ценные замечания и поддержку в работе.

### СПИСОК ЛИТЕРАТУРЫ

- [1] Anderson Localization (ed. by T. Ando, H. Fukuyama), 375. Berlin (1988).
- [2] M.-W. Lee, D. Romero, H. D. Drew, M. Shayegan, B. S. Elman. Sol. St. Commun., 66, 23 (1988); D. Romero, S. Liu, H. D. Drew, K. Ploog. Phys. Rev. B, 42, 3179 (1990).
- [3] Т. И. Воронина, А. Н. Дахно, О. В. Емельяненко, Т. С. Лагунова, С. П. Сыросельцева. ФТП, 22, 1230 (1988).
- [4] И. М. Цидильковский, Г. А. Матвеев, А. Т. Лончаков. ФТП, 20, 515 (1986); Г. А. Матвеев, И. М. Цидильковский, А. Т. Лончаков. ФТП, 21, 222 (1987).
- [5] G. A. Matveev, I. M. Tsidilkovskii, A. T. Lonchakov. Phys. St. Sol. B, 154, 703 (1989).
- [6] Г. А. Матвеев, И. М. Цидильковский, А. Т. Лончаков, Н. Б. Брандт, В. А. Кульбачинский. ФТП, 22, 799 (1988).
- [7] M. Osofsky, J. B. Bieri, M. la Madrid, J. M. Mochel. Phys. Rev. B, 38, 12215 (1989).
- [8] С. И. Дорожкин, В. Т. Долгополов. Письма ЖЭТФ, 36 (1982).
- [9] В. М. Михеев. ФТГ, 32, 1040 (1991).
- [10] Г. А. Матвеев, А. Т. Лончаков. ФТП, 18, 589 (1984).
- [11] P. W. Anderson, E. Amgharabs, T. V. Ramakrishnan. Phys. Rev. Lett., 43, 718 (1979).
- [12] J. Schilz, J. Lange, L. Mester, G. Nimtz. Z. Phys. B, 81, 381 (1990).
- [13] Арсенид галлия. Получение и свойства (под ред. Ф. П. Кесеманлы, Д. Н. Наследова), 471. М. (1973).
- [14] W. L. McMillan. Phys. Rev. B, 24, 2739 (1981).
- [15] B. L. Altshuler, A. G. Aronov. Electron-Electron Interactions In Disordered System (ed. by A. L. Efros and M. Pollak), Amsterdam (1985).

Редактор В. В. Чалдышев

